

HyperChemフロントエンド、Gaussianバックエンド

次世代構造ベース創薬支援システム

Homology Modeling Professional for HyperChem

Docking Study with HyperChem Virtual Screening System

次世代創薬支援技術 PIEFII Technology

ONIOM Interface for Receptor
Gaussian Interface for HyperChem
AutoDock Vina In Silico Screenings Interface





Institute of Molecular Function

辻 一徳 Motonori Tsuji, Ph.D.



TOTAL MOLECULAR MODELING SYSTEM

The Full-automatic, GUI-based, Most Logical Structure-based Drug Design System Supported by the High-level Theoretical Calculations

AutoDock Vina

Docking Study with HyperChem AutoDock Vina Interface

In Silico Screenings

PIERII Virtual Screening System

HyperChem

Homology Modeling Professional for HyperChem

Gaussian Interface

ONIOM Interface

NAMD (VMD)

Gaussian

ABINIT-MP (BioStationViewer)

Fragment Molecular Orbital

100ns Molecular Dynamics



MODELING, ANALYSIS & SIMULATIONS

Homology Modeling Professional For HyperChem

With Gaussian Interface For HyperChem & ONIOM Interface For Receptor



CHARACTERISTICS

HyperChemとGaussianで生体高分子モデリング、解析、 シミュレーション

分子力学計算から量子化学計算、分子動力学計算を網羅 様々な状態の生体高分子システムに対応

従来製品にない最先端手法

グラフィカルユーザーインターフェースベース

エネルギー評価ベースのタンパクホモロジーモデリング

大幅な作業時間の短縮(1ヶ月かかる作業が約1日)

特殊な作業知識が不要(1年かかる講習が不要)

研究者は本質的な思考に集中できる

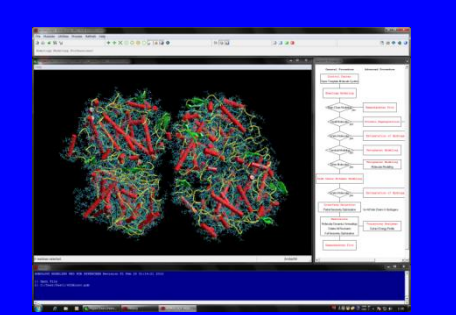
圧倒的コストパフォーマンス(従来製品の数十分の一)

構造ベースドラッグデザインシステムと連携

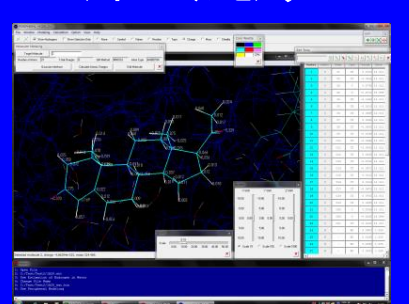


MODULE PROGRAMS

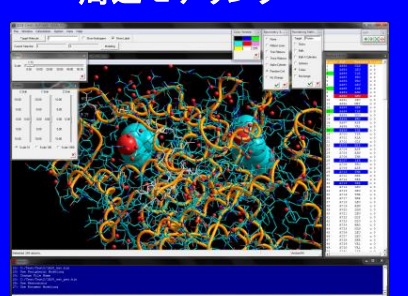
個々のモジュールプログラムに独自の最先端技術を搭載



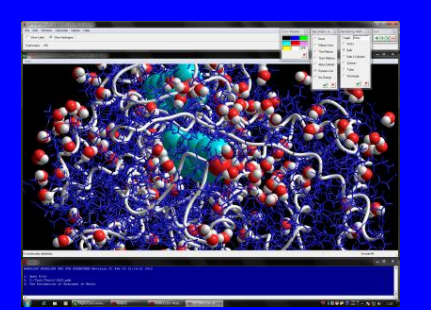
コントロールセンター



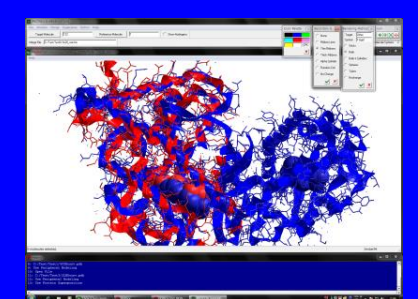
周辺モデリング



側鎖ロータマーモデリング



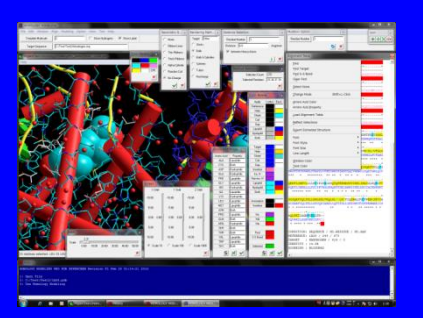
水素原子初期座標評価



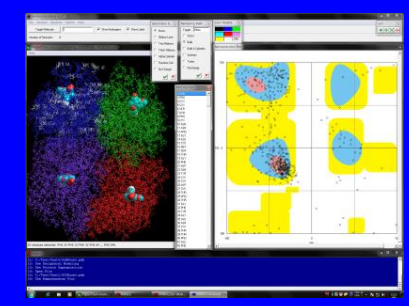
タンパク重ね合わせ



トラジェクトリ解析



ホモロジーモデリング



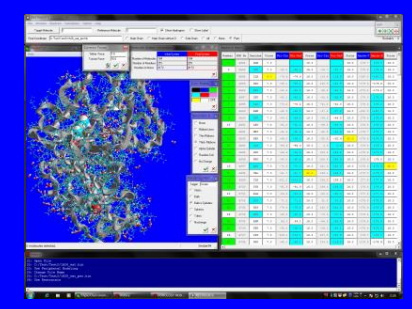
ラマチャンドランプロット



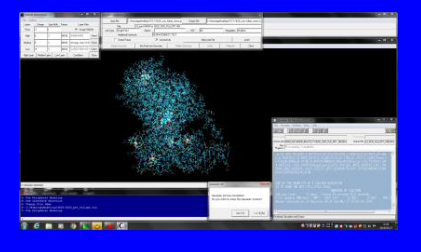
Gaussianインターフェイス



インターフェイス選択

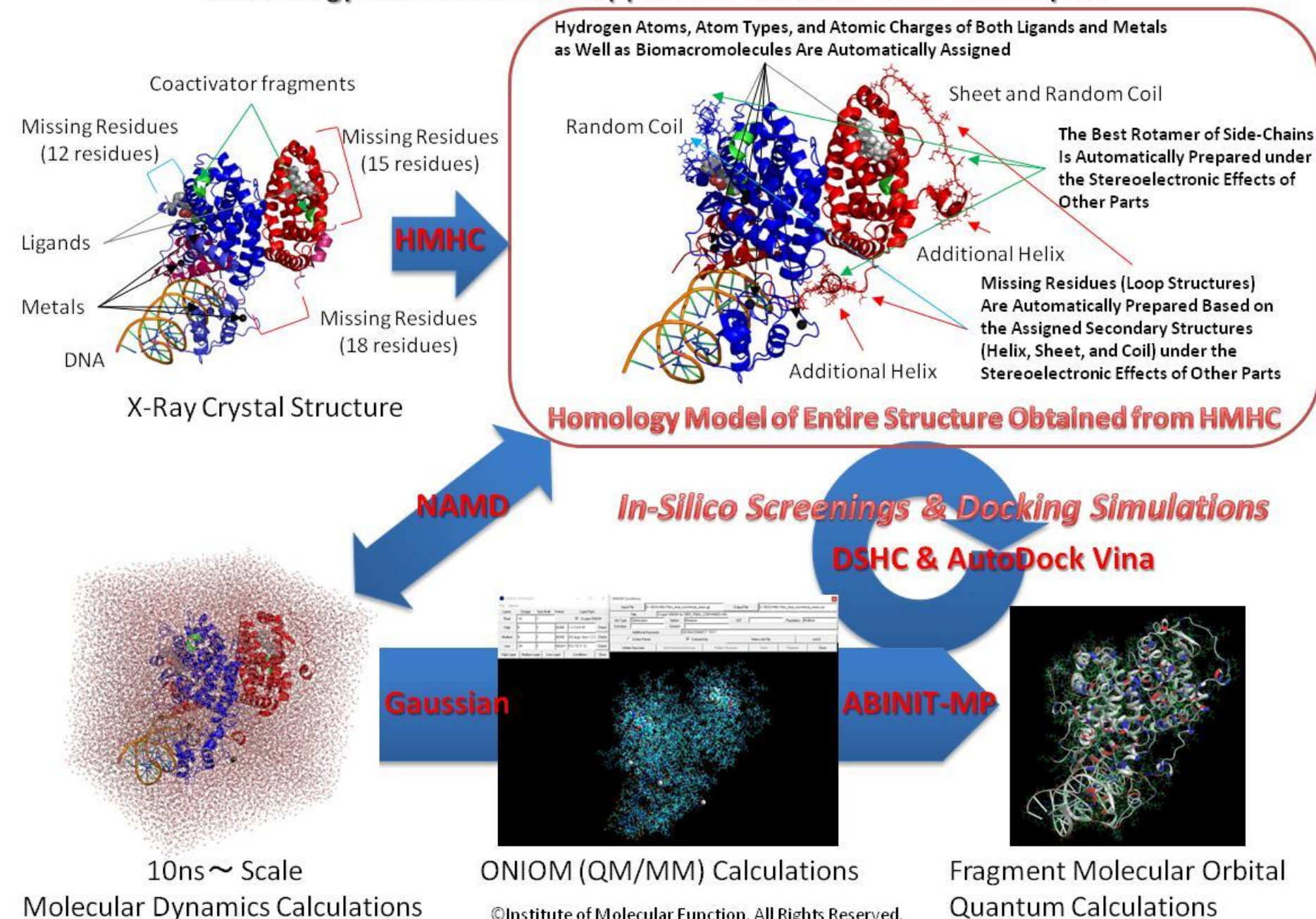


束縛



ONIOMインターフェイス

HMHC and DSHC Can Automatically Prepare the Best Structure Based on the Energy Calculations to Support the Latest In-Silico Techniques

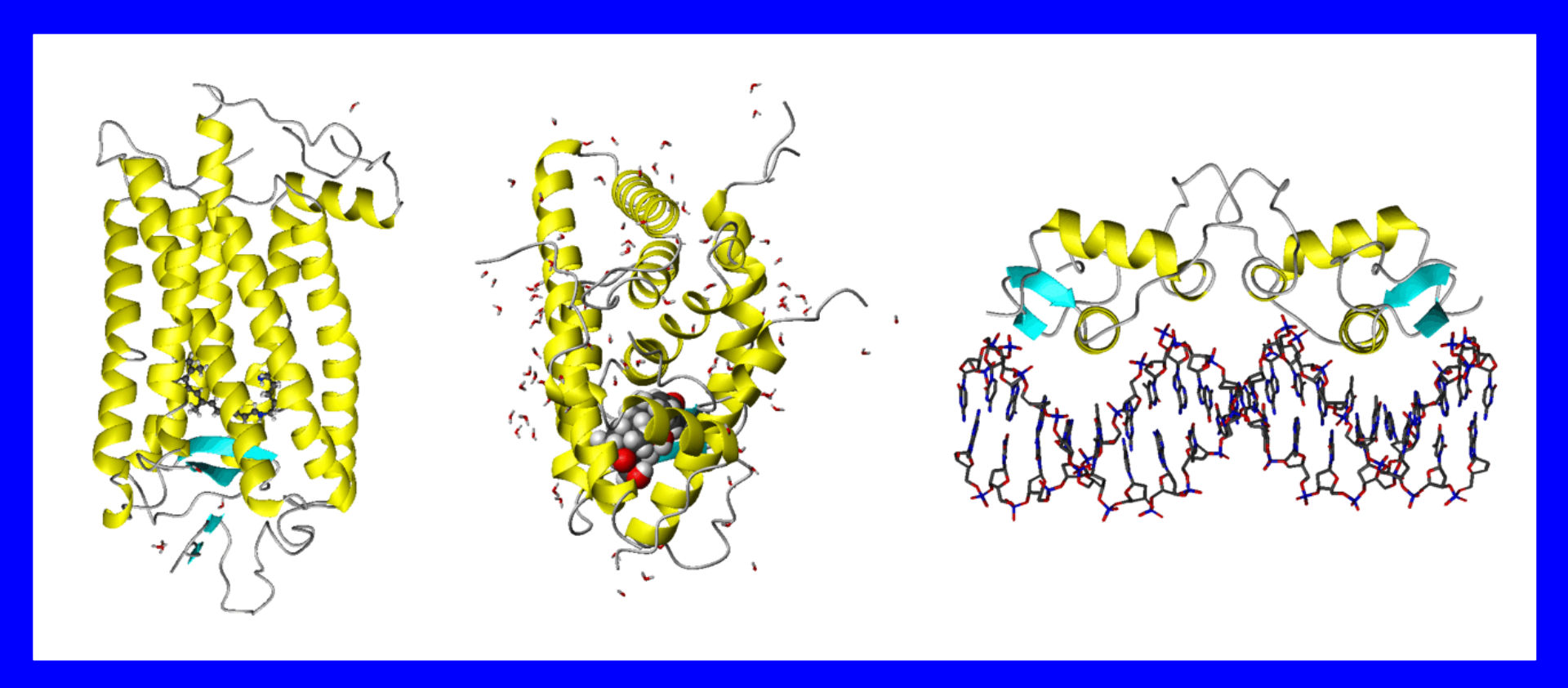


OInstitute of Molecular Function. All Rights Reserved.



HOMOLOGY MODELING

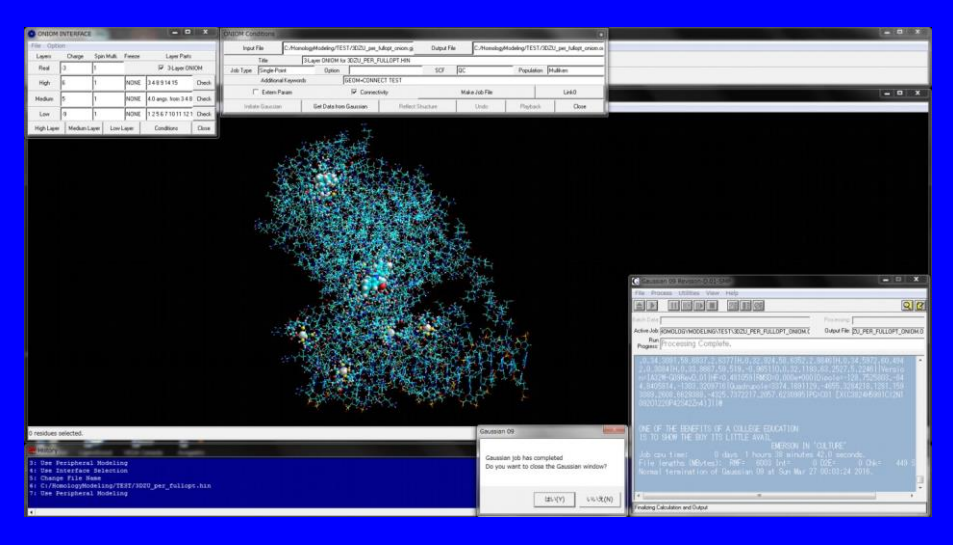
自動化されたエネルギーベースの挿入配列モデリング、 主鎖モデリング、側鎖モデリング、共有結合低分子モデリング、 ヘテロ分子影響下モデリング、ホモあるいはヘテロ会合状態 モデリング、真空から溶媒和条件下モデリング

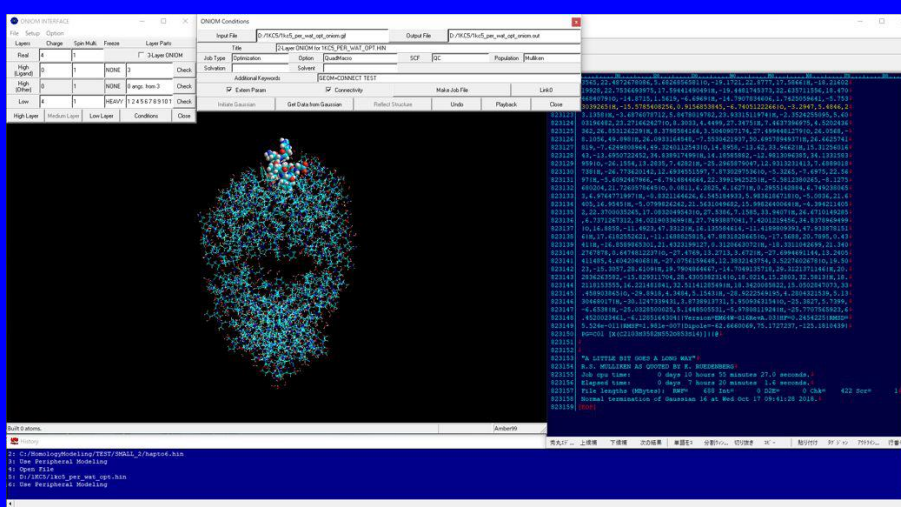


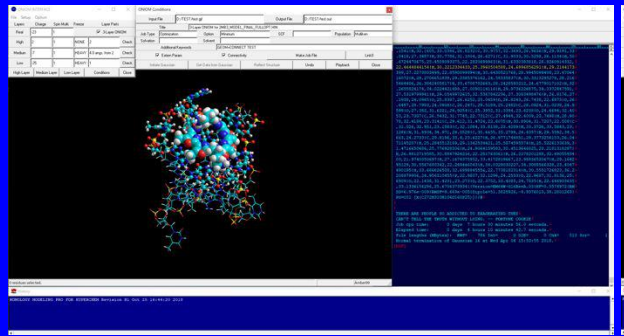


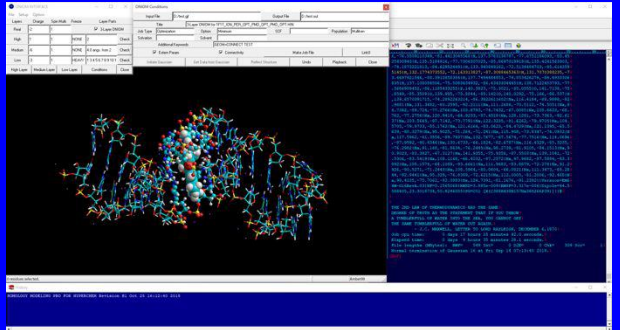
QM/MM CALCULATIONS

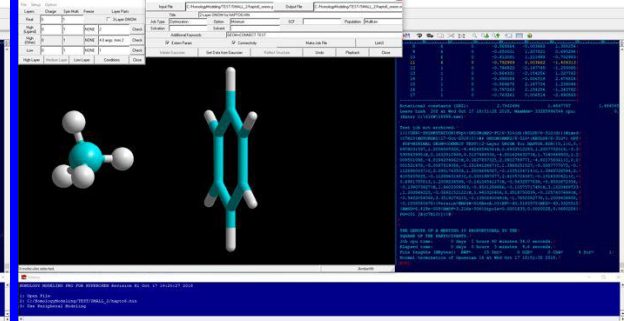
生体高分子システムのQM/MM計算も ONIOMインターフェイスで全自動で実施可能













STRUCTURE-BASED PHARMACOPHORE PREDICTIONS

<u>Potential Interaction Energy Field with</u> <u>Interaction Information Technology</u>

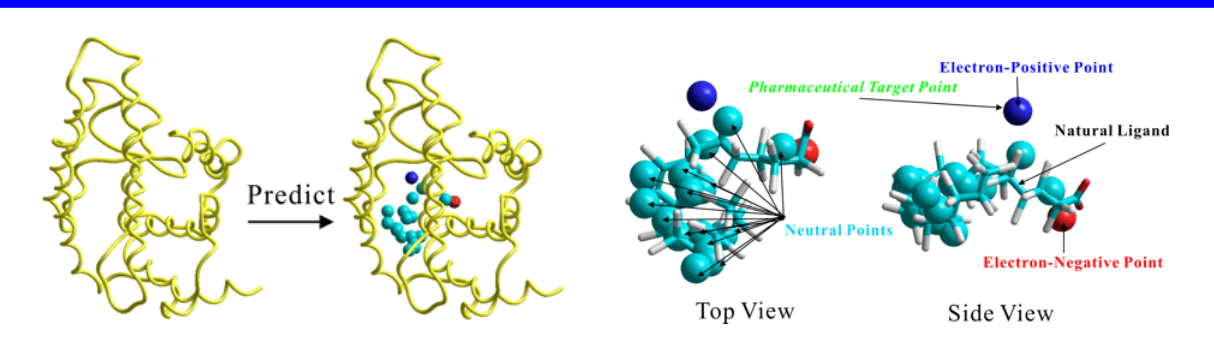
The Next-generation Drug Discovery Technology

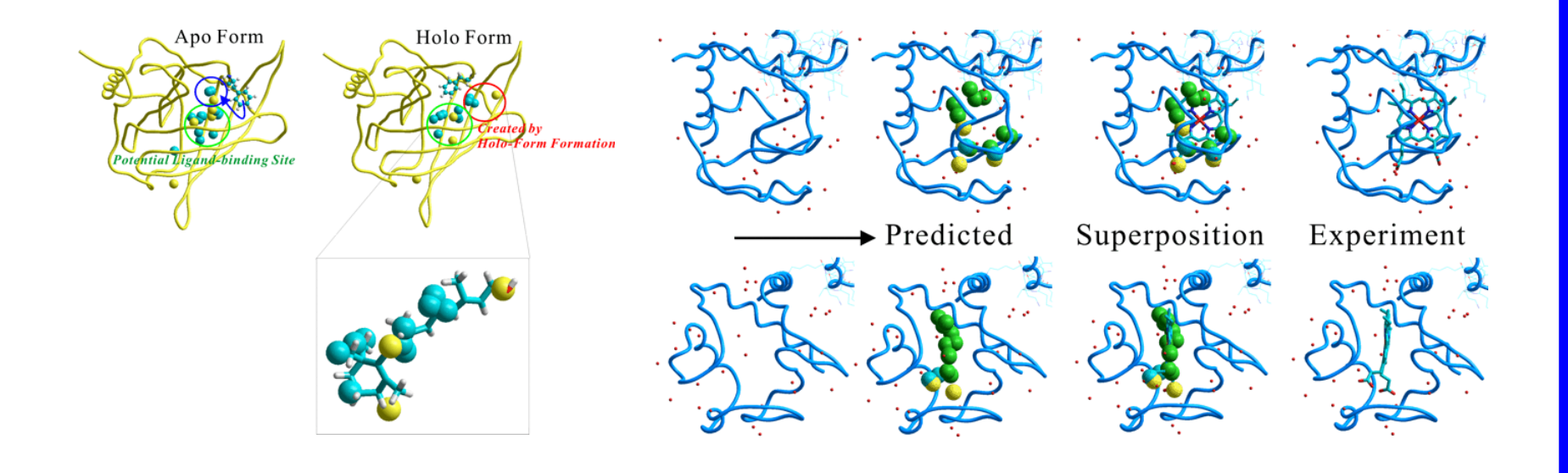
Patent Rights



PIEFII TECHNOLOGY

生体高分子システムの座標情報のみからリガンド結合部位予測: 高精度にファーマコフォア並びにスキャッフォルド予測







DRUG DESIGN

Docking Study With HyperChem

with AutoDock Vina In Silico Screenings Interface



CHARACTERISTICS

生体高分子システム(蛋白&核酸)一化合物フレキシブルドッキング

従来製品にはない非グリッドアルゴリズム採用(計算精度を犠牲にしない)

世界最高13種類の分子力学計算をサポート(通常1-2種類)

高精度、複合体形成部位、構造ベースリガンドファーマコフォア、 スキャフォルド予測技術搭載(特許技術)

バーチャルスクリーニング用に開発した高速化アルゴリズム搭載

グラフィカルユーザーインターフェイスベース

様々な状態の生体高分子システムに対応

ドッキングシミュレーションと並行して生体高分子構造精密化可能

量子化学的手法で複合体解析が可能(従来製品では不可能な結合生成、

遷移状態解析、励起状態解析が可能)

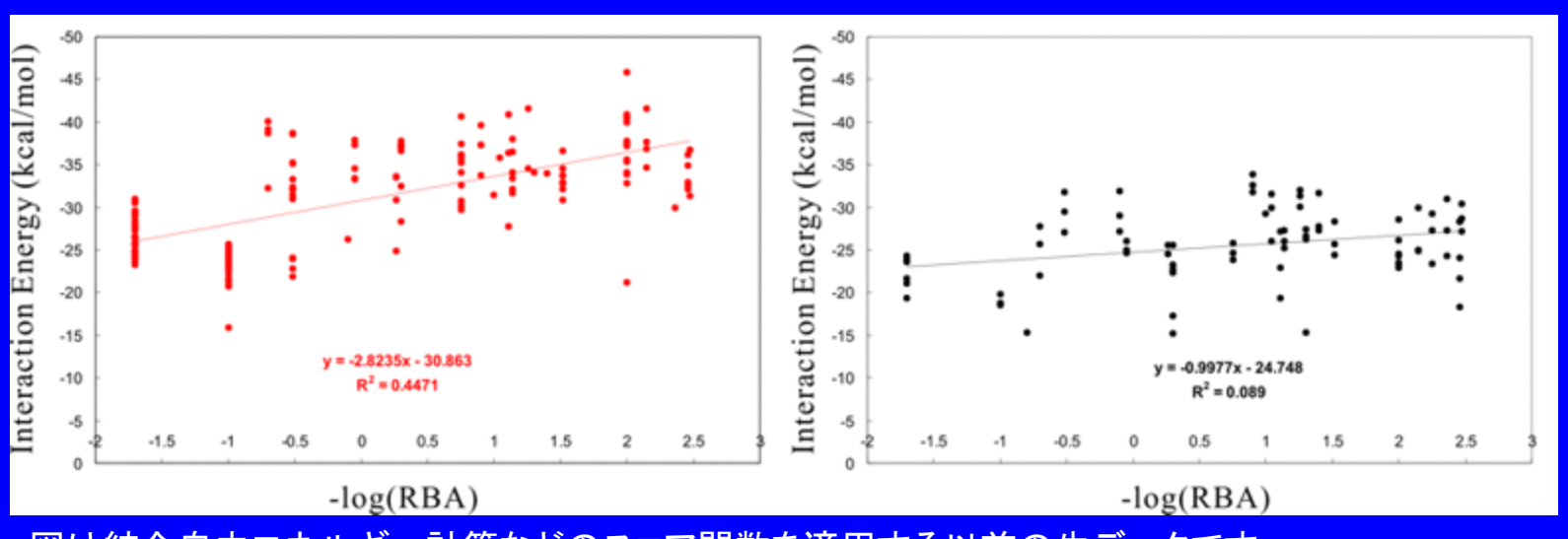
特殊な作業知識が不要(膨大なテキストベースの準備作業が不要)

圧倒的コストパフォーマンス(従来製品の数十分の一)



COMPARISON WITH GRID ALGORITHM

従来製品が採用するグリッドアルゴリズムと比較して圧倒的優位性



図は結合自由エネルギー計算などのスコア関数を適用する以前の生データです

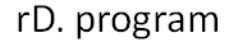
化合物コンフォメーション毎に半経験分子軌道法による 電荷アサイン機能搭載

Benchmark Test of Docking Study Programs

Docking Study with HyperChem (DSHC)



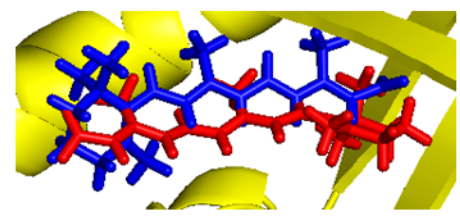
AutoDock Vina



S. Program in m.P.



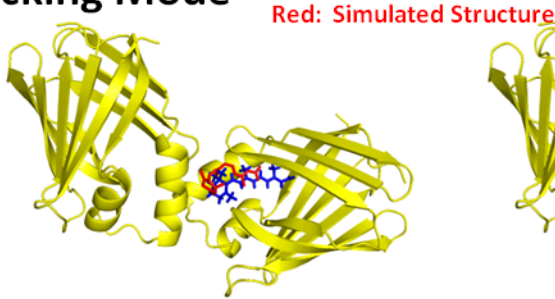




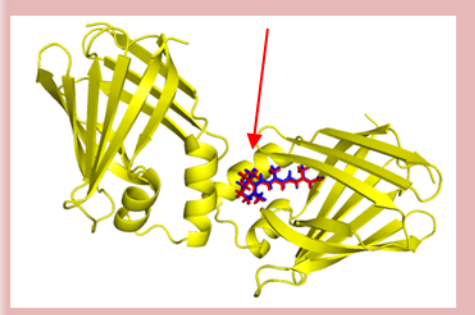
Most Stable Docking Mode

All docking modes are reproduced

Low-score docking modes are reversed



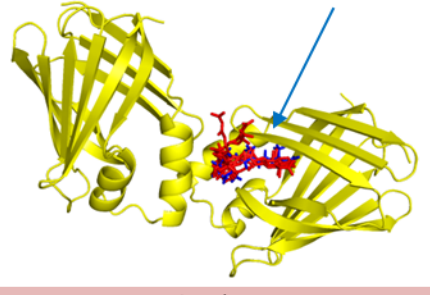
All docking modes are reversed



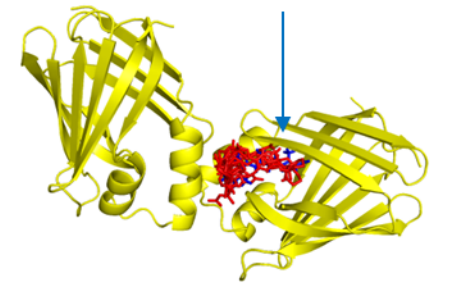
Condition: All Atom

CPU: E5-2650 V2 (2.6 GHz)

Time: 64s



United Atom E5-2650 V2 (2.6 GHz) 76s (1 Thread)



United Atom E5-2687W (3.1 GHz) 44s



All Atom E5-2687W (3.1 GHz) 13s

Precision: DSHC >> Vina >> rD. >>>> S.
Speed: DSHC ~ Vina << rD. <<< S.

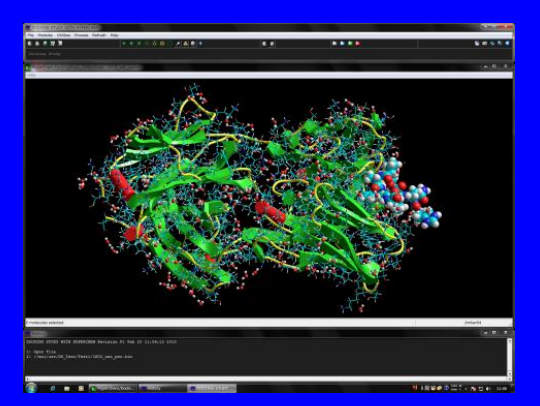
Both Available

All programs were performed in a default condition

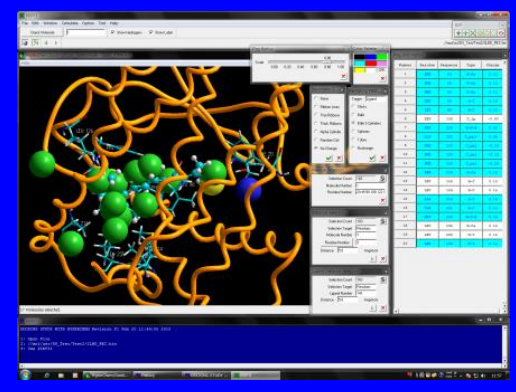


MODULE PROGRAMS

個々のモジュールプログラムに独自の最先端技術を搭載



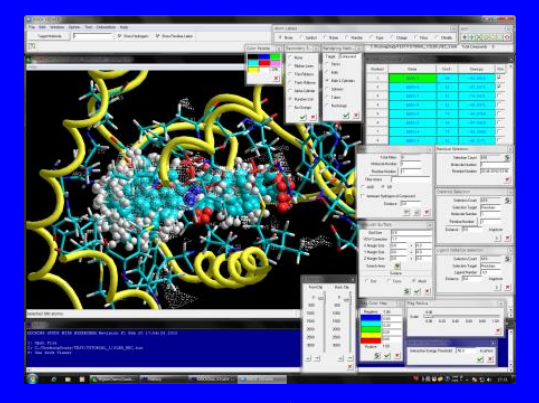
Control Center



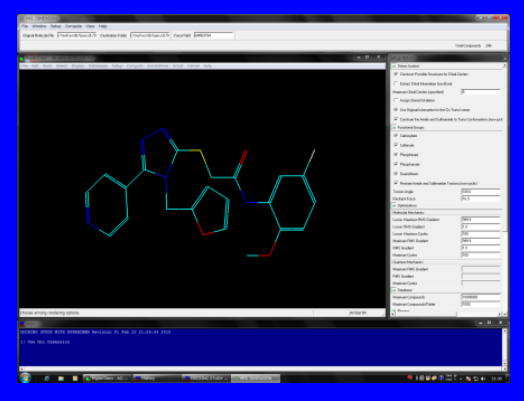
PIEFII(特許技術)



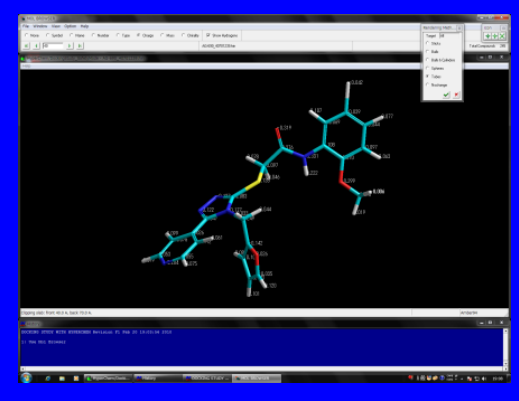
Docking Study



Dock Viewer



Mol Dimension

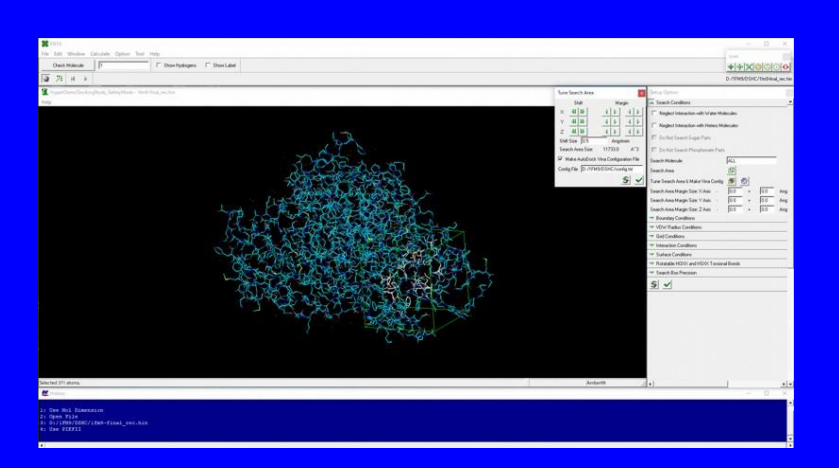


Mol Browser

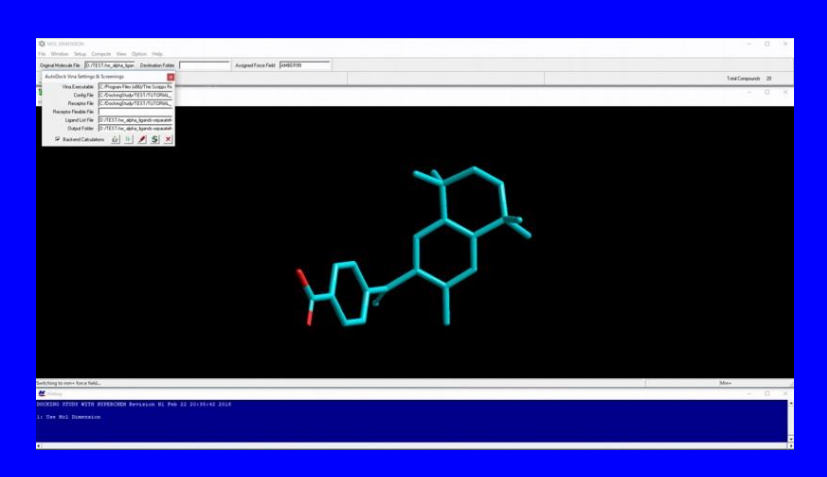


AUTODOCK VINA SCREENING INTERFACE

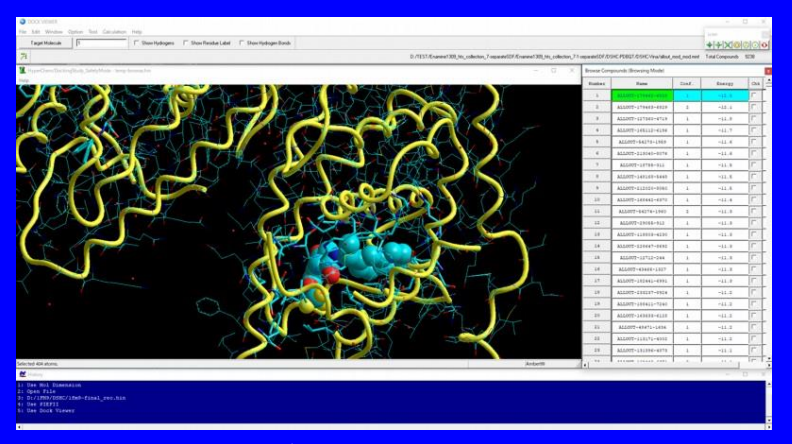
AutoDock Vinaプログラムによるインシリコスクリーニングをサポート



ファイル準備



化合物データベース作成、及び、スクリーニング実行

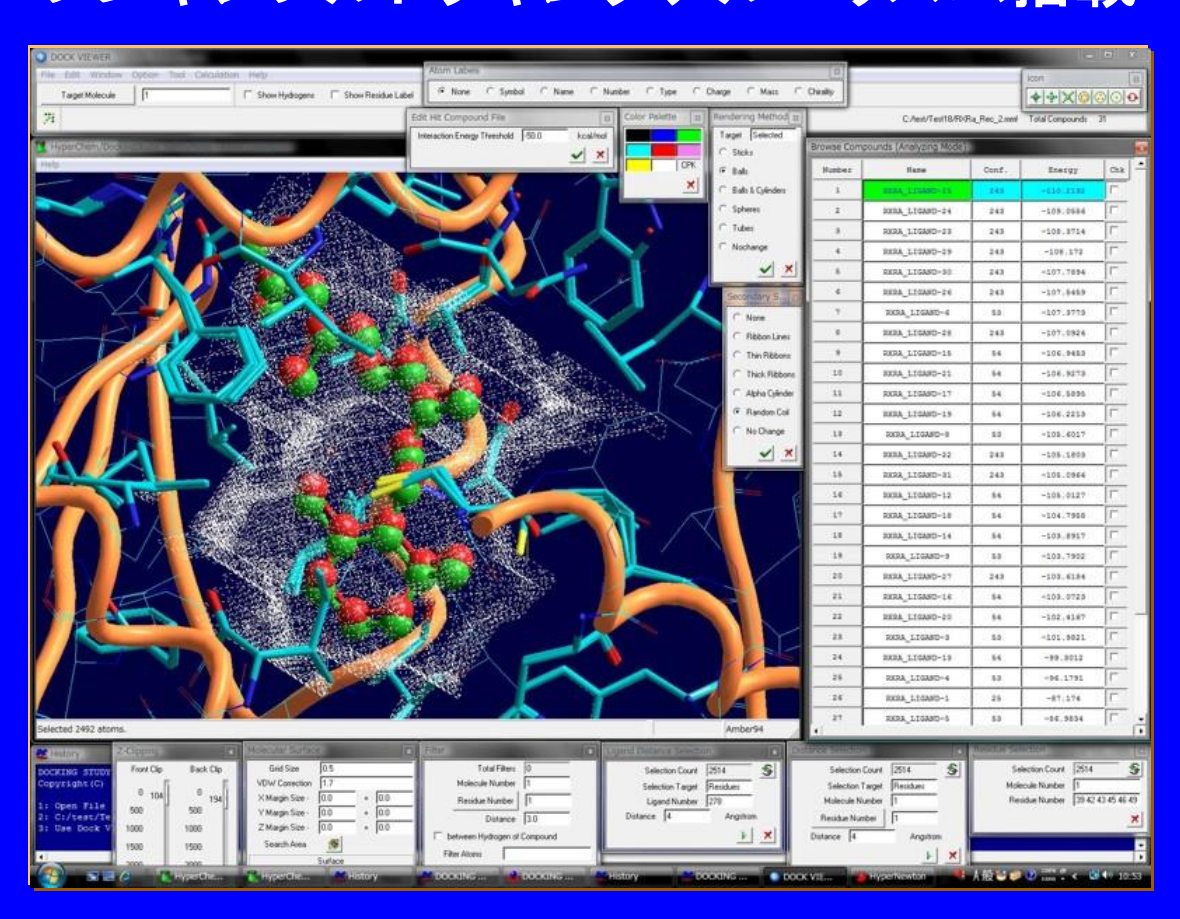


ヒット絞り込み、ドッキングモード閲覧、解析、化合物購入手続き



PROTEIN- & LIGAND-FLEXIBLE DOCKING

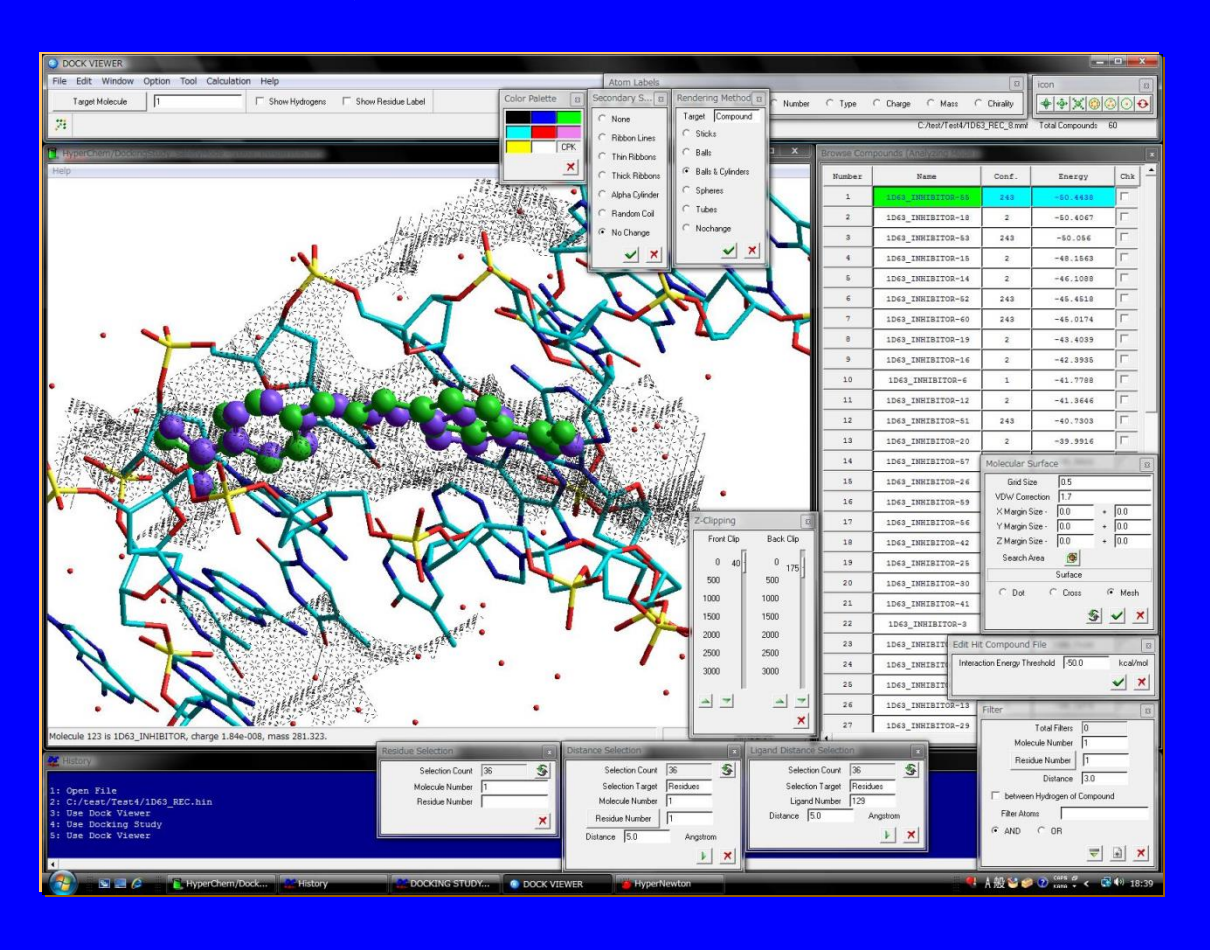
生体高分子システム側の誘導適合効果を考慮したフレキシブルドッキングアルゴリズム搭載





NUCLEIC ACID- & LIGAND-FLEXIBLE DOCKING

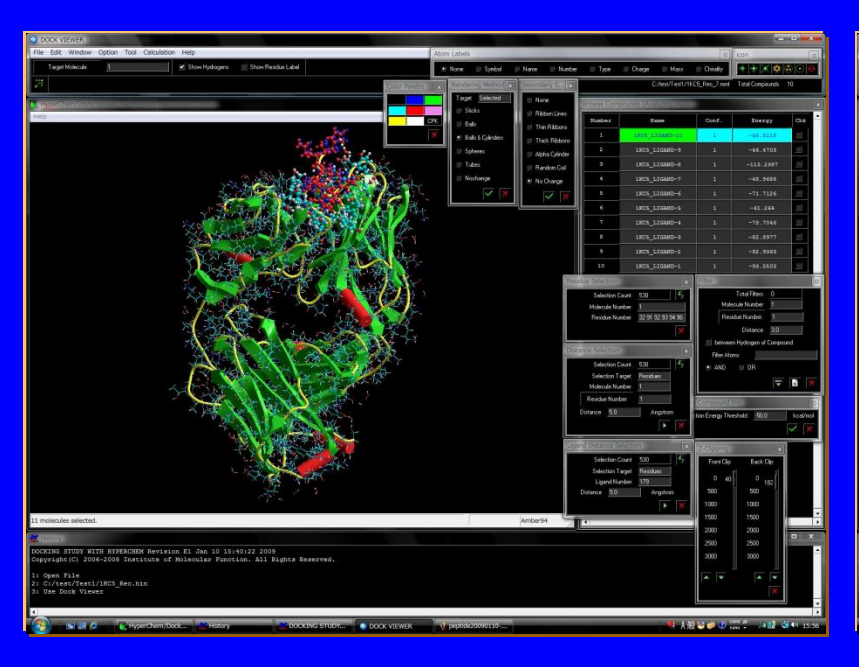
核酸分子システムーリガンドフレキシブルドッキングにも対応

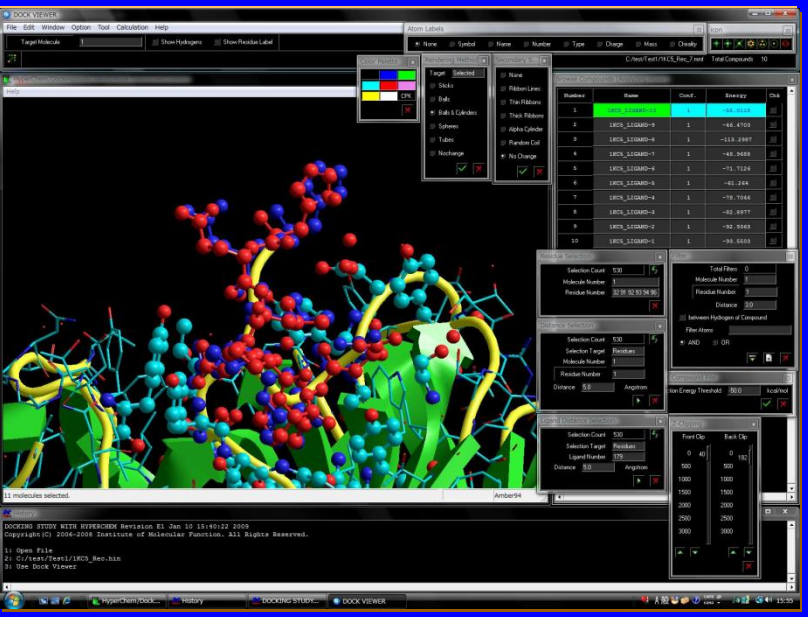




PROTEIN (OR NUCLEIC ACID)& PEPTIDE-DOCKING

生体高分子システムーペプチドドッキング

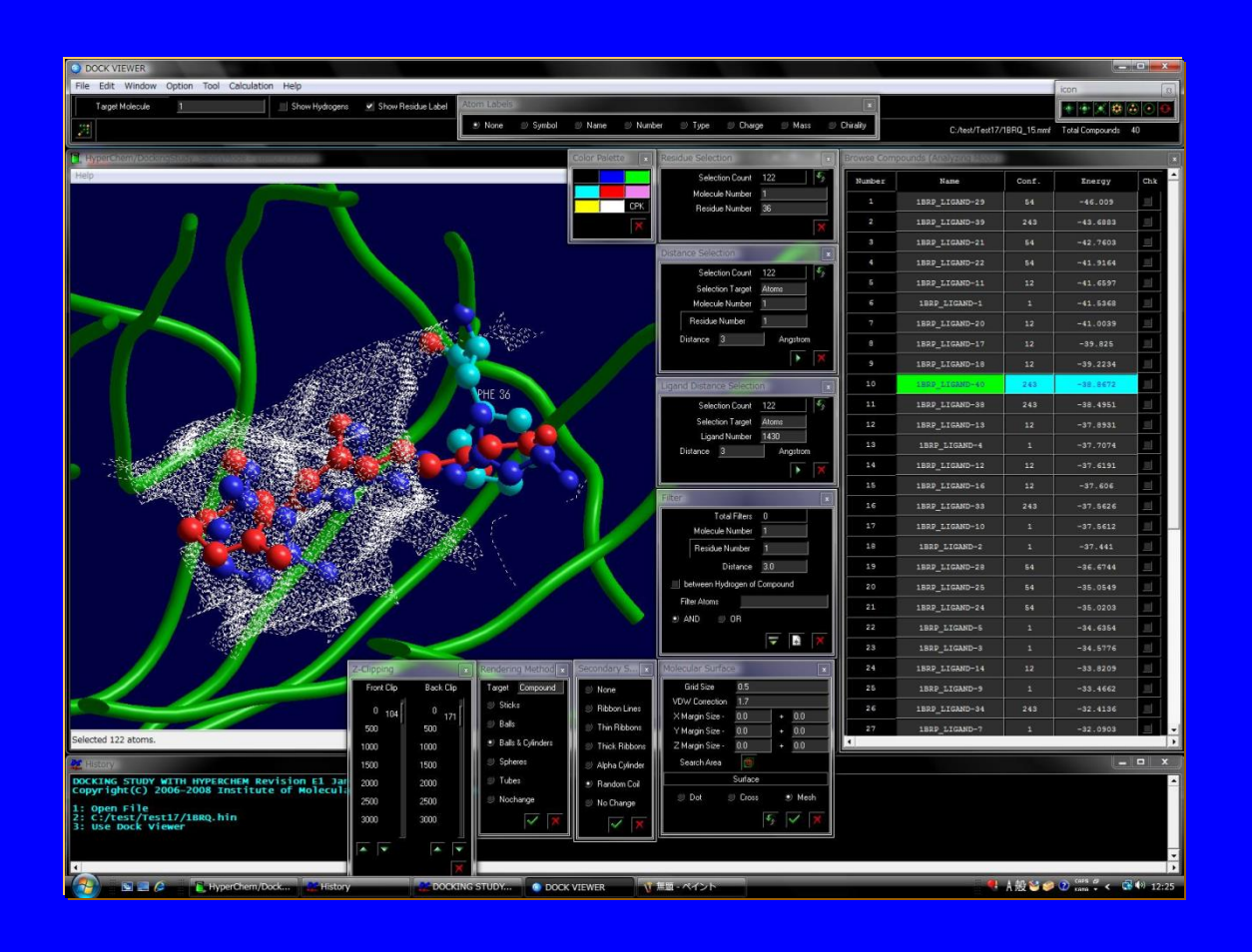






NOVEL FLEXIBLE DOCKING ALGORITHM

誘導適合効果を超えた大きな構造変化を取り扱える 独自の新規フレキシブルドッキングアルゴリズム搭載





VIRTUAL SCREENING

Virtual Screening System

Based on Docking Study with HyperChem



SYSTEM CONCEPT

リモートデスクトップ機能でクラスタリングに対応 マルチコアでも複数スレッド同時起動でクラスタリング可能





STRUCTURE-BASED DRUG DESIGN

分子機能研究所の構造ベース創薬技術

標的疾患

関連遺伝子 構造ベース創薬支援ツール群

標的アミノ酸配列

ab initio/ ホモロジーモデリング

生体高分子立体構造精密化

Ab Intio Modeling Homology Modeling for HyperChem

Homology Modeling

標的生体高分子立体構造

Homology Modeling for HyperChem

Estimation of Hydrogen Atoms in Water Interface Selection

Peripheral Modeling
Protein Superposition

Side-Chain Rotamaer Modeling

Ramachandran Plot Restraints

Trajectory Analyzer 10ns~分子動力学計算

精密化標的生体高分子システム立体構造

リガンド結合部位特定

PIEFII
Virtual Screening System

化合物データベース

in silicoスクリーニング

Virtual Screening Dock Viewer

Mol Dimension

AutoDock Vina Screening Interface

複合体構造

複合体解析

Docking Study with HyperChem

Dock Viewer

リード化合物

リード最適化

Gaussian Interface for HyperChem ONIOM Interface for Receptor

全系量子化学計算 (フラグメント分子軌道法)

医薬候補化合物



REFERENCES

辻一徳*. 生体高分子における相互作用部位の予測方法, JP2007-299125, 2006.

辻一徳*. 有機合成化学者のための論理的ドラッグデザイン, 分子機能研究所, 2006.

辻一徳*. 構造ベース創薬支援システム、HMHCおよびDSHCの開発. Mol. Sci., 1, NP004, 2007.

Motonori Tsuji*. Local Motifs Involved in the Canonical Structure of the Ligand-Binding Domain in the Nuclear Receptor Superfamily. *J. Struct. Biol.*, 185, 355-365, 2014.

Motonori Tsuji,* Koichi Shudo, Hiroyuki Kagechika. Docking Simulations Suggest that All-*Trans* Retinoic Acid Could Bind to Retinoid X Receptors. *J. Comput. Aided Mol. Des.*, 29, 975-988, 2015.

Motonori Tsuji*. A Ligand-Entry Surface of the Nuclear Receptor Superfamily Consists of the Helix H3 of the Ligand-Binding Domain. *J. Mol. Graph. Model.*, 62, 262-275, 2015.

Motonori Tsuji*, Koichi Shudo, Hiroyuki Kagechika. Identifying the Receptor Subtype Selectivity of Retinoid X and Retinoic Acid Receptors via Quantum Mechanics. *FEBS Open Bio.*, 7, 391-396, 2017.

Motonori Tsuji*. Antagonist-Perturbation Mechanism for Activation Function-2 Fixed Motifs: Active Conformation and Docking Mode of Retinoid X Receptor Antagonists. *J. Comput. Aided Mol. Des.*, *31*, 577-585, 2017.